

Студ. М.И. Жданеня

Науч. рук.: проф., д-р хим. наук Л.А. Башкиров, асп. Е.К. Юхно  
(кафедра физической и коллоидной химии, БГТУ)

**ФОТОЛЮМИНЕСЦЕНТНЫЕ СВОЙСТВА ТВЕРДЫХ  
РАСТВОРОВ НА ОСНОВЕ ИНДАТА ЛАНТАНА,  
ЛЕГИРОВАННОГО ОДНОВРЕМЕННО ИОНАМИ  $Dy^{3+}$ – $Ho^{3+}$**

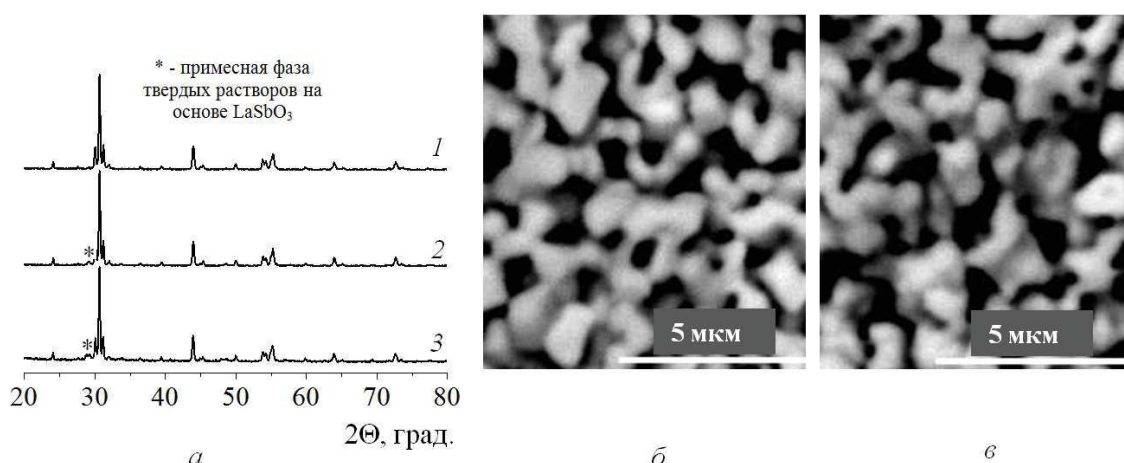
В настоящее время люминесцентные материалы имеют широкое применение, например, в светодиодах белого света, дисплеях, рентгеновских усилителях и других оптоэлектронных устройствах. В настоящее время значительно повысился интерес к исследованию оптических свойств люминофоров на основе  $LaInO_3$  с кристаллической структурой первоскита, легированных ионами редкоземельных элементов  $Pr^{3+}$ ,  $Sm^{3+}$ ,  $Eu^{3+}$ ,  $Tb^{3+}$ ,  $Ho^{3+}$  и ионами  $Bi^{3+}$ , излучающих свет в видимой области, и показана их перспективность для изготовления светодиодов белого света и дисплеев с автоэлектронной эмиссией [1–3]. В работах [2, 3] показано, что ионы висмута  $Bi^{3+}$ , введенные в подрешетку ионов  $La^{3+}$  индата  $LaInO_3$ , легированного ионами  $Eu^{3+}$ ,  $Sm^{3+}$ ,  $Ho^{3+}$ , являются сенсибилизаторами фотолюминесцентных свойств ионов редкоземельных элементов. Ионы  $Sb^{3+}$  имеют электронную конфигурацию  $5s^2$ , т.е. подобную как у ионов  $Bi^{3+}$  ( $6s^2$ ). Поэтому можно ожидать, что ионы  $Sb^{3+}$  также будут хорошим сенсибилизатором фотолюминесцентных свойств ионов редкоземельных элементов.

В связи с этим в настоящей работе изучена кристаллическая структура, микроструктура, получены и проанализированы спектры возбуждения и фотолюминесценции полученных твердофазным методом образцов на основе индата лантана, легированного парой ионов  $Dy^{3+}$ – $Ho^{3+}$ , в качестве возможного сенсибилизатора были добавлены ионы  $Sb^{3+}$ .

Образцы получали твердофазным методом из оксидов лантана  $La_2O_3$ , индия  $In_2O_3$ , диспрозия  $Dy_2O_3$ , гольмия  $Ho_2O_3$  и сурьмы  $Sb_2O_3$ . Все реактивы имели квалификацию «х. ч.». Оксиды лантана, диспрозия и гольмия были предварительно прокалены при 1273 К в течение 1 ч. Порошки оксидов, взятые в заданных молярных соотношениях, смешивали и мололи в планетарной мельнице с добавлением этанола. Полученную шихту прессовали в таблетки с добавлением этанола и обжигали на воздухе при 1523 К в течение 6 ч. После предварительного обжига таблетки дробили, перемалывали, прессовали и обжигали в том же режиме.

Рентгеновские дифрактограммы получали на дифрактометре D8 ADVANCED фирмы Bruker с использованием  $\text{CuK}_\alpha$ -излучения. Микрофотографии поверхностей сколов полученных керамических образцов индатов получали на сканирующем электронном микроскопе JEOL JSM – 5610LV. Измерения спектров возбуждения и фотолюминесценции проводили при комнатной температуре на автоматизированном спектрофлуориметре СДЛ-2 в Институте физики им. Б.И. Степанова НАН Беларусь.

Анализ рентгеновских дифрактограмм (рис. 1 $a$ ), показал, что полученные образцы индатов имели кристаллическую структуру орторомбически искаженного перовскита.



**Рисунок 1 – Рентгеновские дифрактограммы индатов  $\text{La}_{0,90}\text{Dy}_{0,05}\text{Ho}_{0,05}\text{InO}_3$  (1),  $\text{La}_{0,90}\text{Dy}_{0,05}\text{Ho}_{0,05}\text{Sb}_{0,02}\text{O}_3$  (2),  $\text{La}_{0,90}\text{Dy}_{0,05}\text{Ho}_{0,05}\text{In}_{0,95}\text{Sb}_{0,05}\text{O}_3$  (3) (а); микрофотографии сколов керамических образцов индатов  $\text{La}_{0,90}\text{Dy}_{0,05}\text{Ho}_{0,05}\text{InO}_3$  (б),  $\text{La}_{0,90}\text{Dy}_{0,05}\text{Ho}_{0,05}\text{In}_{0,98}\text{Sb}_{0,02}\text{O}_3$  (в)**

Значения параметров элементарной ячейки  $a$ ,  $b$ ,  $c$  и объема  $V$  для исследованных образцов индатов приведены в таблице.

**Таблица. Параметры  $a$ ,  $b$ ,  $c$  и объем элементарной ячейки  $V$  образцов на основе индата лантана, легированного парой ионов  $\text{Dy}^{3+}$ – $\text{Ho}^{3+}$ , тремя ионами  $\text{Dy}^{3+}$ – $\text{Ho}^{3+}$ – $\text{Sb}^{3+}$**

Состав	Параметры кристаллической решетки			
	$a$ , Å	$b$ , Å	$c$ , Å	$V$ , Å <sup>3</sup>
$\text{La}_{0,90}\text{Dy}_{0,05}\text{Ho}_{0,05}\text{InO}_3$	5,727	5,940	8,230	279,9
$\text{La}_{0,90}\text{Dy}_{0,05}\text{Ho}_{0,05}\text{In}_{0,98}\text{Sb}_{0,02}\text{O}_3$	5,726	5,934	8,234	279,8
$\text{La}_{0,90}\text{Dy}_{0,05}\text{Ho}_{0,05}\text{In}_{0,95}\text{Sb}_{0,05}\text{O}_3$	5,732	5,938	8,241	280,5
$\text{LaInO}_3$	5,738	5,953	8,227	281,0

Установлено, что образец  $\text{La}_{0,90}\text{Dy}_{0,05}\text{Ho}_{0,05}\text{InO}_3$  был однофазным, а образцы  $\text{La}_{0,90}\text{Dy}_{0,05}\text{Ho}_{0,05}\text{In}_{0,98}\text{Sb}_{0,02}\text{O}_3$ ,  $\text{La}_{0,90}\text{Dy}_{0,05}\text{Ho}_{0,05}\text{In}_{0,95}\text{Sb}_{0,05}\text{O}_3$

содержали незначительное количество примесной фазы  $\text{LaSbO}_3$  и твердых растворов на его основе  $\text{La}_{1-2y}\text{Dy}_y\text{Ho}_y\text{Sb}_{1-z}\text{In}_z\text{O}_3$ .

Приведенные на рис. 1 *б*, *в* микрофотографии поверхностей сколов керамических образцов индатов  $\text{La}_{0,90}\text{Dy}_{0,05}\text{Ho}_{0,05}\text{InO}_3$ ,  $\text{La}_{0,90}\text{Dy}_{0,05}\text{Ho}_{0,05}\text{In}_{0,98}\text{Sb}_{0,02}\text{O}_3$  показывают, что они состоят из частиц шарообразной и эллипсоидной формы, размер которых находится в интервале 0,5–2,5 мкм, а наличие примесной фазы не просматривается. Морфология частиц образцов различных составов изменяется незначительно.

На рис. 2 приведены спектры возбуждения образцов фотолюминофоров  $\text{La}_{0,90}\text{Dy}_{0,05}\text{Ho}_{0,05}\text{InO}_3$ ,  $\text{La}_{0,90}\text{Dy}_{0,05}\text{Ho}_{0,05}\text{In}_{0,98}\text{Sb}_{0,02}\text{O}_3$ ,  $\text{La}_{0,90}\text{Dy}_{0,05}\text{Ho}_{0,05}\text{In}_{0,95}\text{Sb}_{0,05}\text{O}_3$ , полученные при  $\lambda_{\text{пер}} = 543$ , 576 нм, которые соответствуют максимумам длин волн полос фотолюминесценции ионов  $\text{Ho}^{3+}$  ( $\lambda_{\text{макс}} = 543$  нм) и  $\text{Dy}^{3+}$  ( $\lambda_{\text{макс}} = 576$  нм).

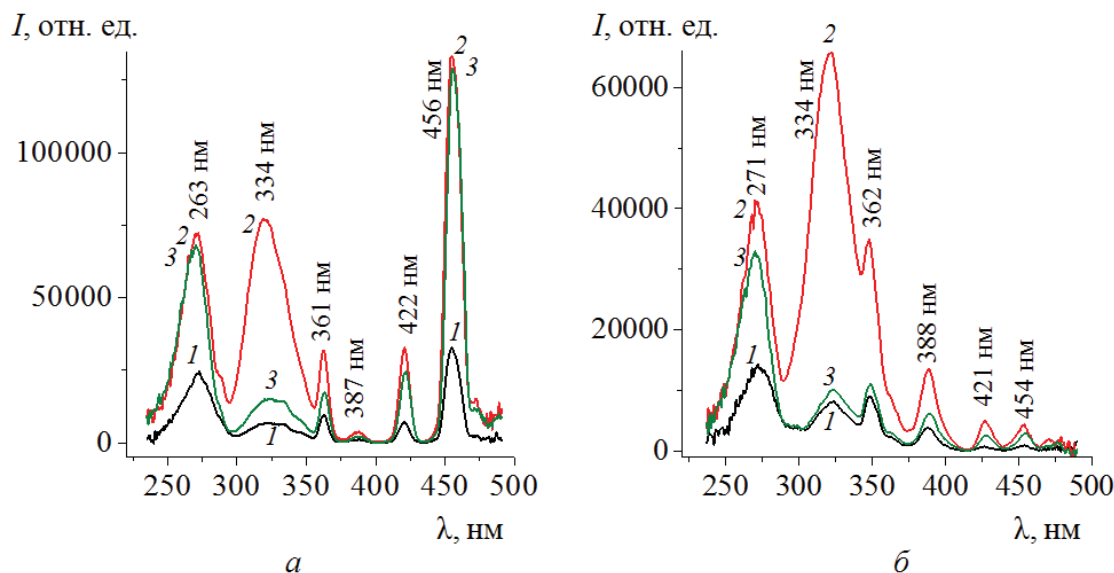
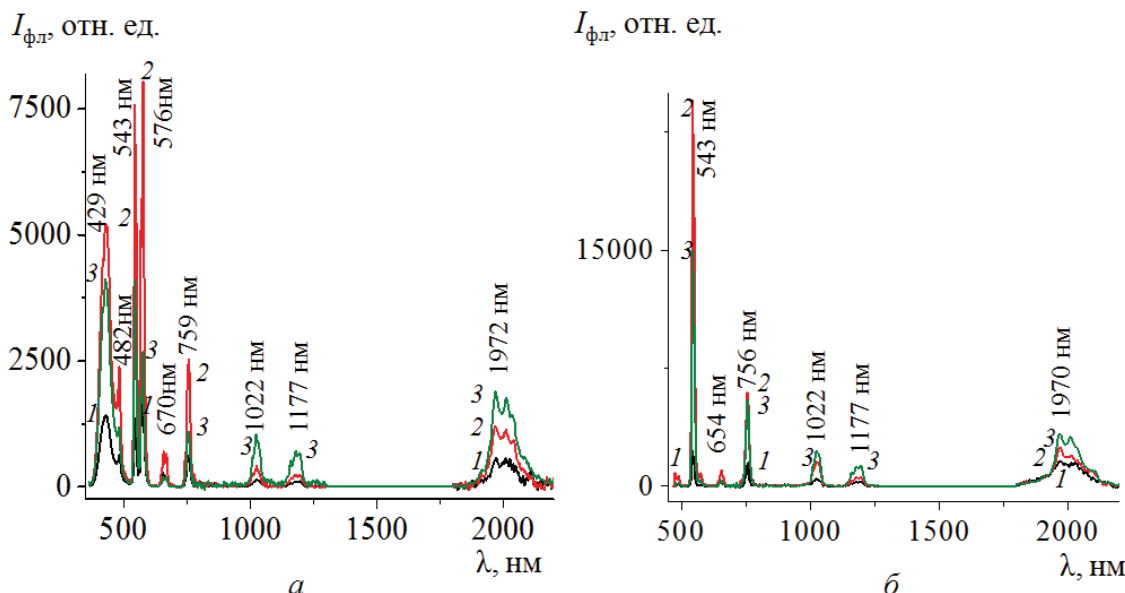


Рисунок 2 – Спектры возбуждения индатов  $\text{La}_{0,90}\text{Dy}_{0,05}\text{Ho}_{0,05}\text{InO}_3$  (1),  $\text{La}_{0,90}\text{Dy}_{0,05}\text{Ho}_{0,05}\text{In}_{0,98}\text{Sb}_{0,02}\text{O}_3$  (2),  $\text{La}_{0,90}\text{Dy}_{0,05}\text{Ho}_{0,05}\text{In}_{0,95}\text{Sb}_{0,05}\text{O}_3$  (3) при  $\lambda_{\text{пер}} = 543$  нм (а), 576 нм (б)

На спектрах фотолюминесценции при  $\lambda_{\text{возб}} = 320$ , 455 нм (рис. 3) присутствуют полосы, расположенные в видимой и инфракрасной областях спектра. Установлено, что соотношение интенсивностей полос одновременного излучения ионами  $\text{Dy}^{3+}$ ,  $\text{Ho}^{3+}$  зависит от длины волны возбуждения ( $\lambda_{\text{возб}}$ ). Так на спектре фотолюминесценции при  $\lambda_{\text{возб}} = 320$  нм образца  $\text{La}_{0,90}\text{Dy}_{0,05}\text{Ho}_{0,05}\text{InO}_3$  (рис. 3 *а*, кривая 1) кроме полос ионов  $\text{Ho}^{3+}$ , присутствуют также интенсивные полосы ионов  $\text{Dy}^{3+}$  с  $\lambda_{\text{макс}} = 482$ , 576 нм. Однако на спектре фотолюминесценции образца  $\text{La}_{0,90}\text{Dy}_{0,05}\text{Ho}_{0,05}\text{InO}_3$  (рис. 3 *б*, кривая 1), полученном при  $\lambda_{\text{возб}} =$

455 нм, присутствуют интенсивные полосы фотолюминесценции ионов  $\text{Ho}^{3+}$ , а интенсивность полос фотолюминесценции ионов  $\text{Dy}^{3+}$  является незначительной, включая полосу излучения желтого света ( $\lambda_{\text{макс}} = 576 \text{ нм}$ ).



**Рисунок 3 – Спектры фотолюминесценции индатов  $\text{La}_{0.90}\text{Dy}_{0.05}\text{Ho}_{0.05}\text{InO}_3$  (1),  $\text{La}_{0.90}\text{Dy}_{0.05}\text{Ho}_{0.05}\text{In}_{0.98}\text{Sb}_{0.02}\text{O}_3$  (2),  $\text{La}_{0.90}\text{Dy}_{0.05}\text{Ho}_{0.05}\text{In}_{0.95}\text{Sb}_{0.05}\text{O}_3$  (3) при  $\lambda_{\text{возб}} = 320 \text{ нм}$  (а), 455 нм (б)**

Приведенные на рис. 2, 3 спектры возбуждения и фотолюминесценции образцов индатов  $\text{La}_{0.90}\text{Dy}_{0.05}\text{Ho}_{0.05}\text{InO}_3$ ,  $\text{La}_{0.90}\text{Dy}_{0.05}\text{Ho}_{0.05}\text{In}_{0.98}\text{Sb}_{0.02}\text{O}_3$ ,  $\text{La}_{0.90}\text{Dy}_{0.05}\text{Ho}_{0.05}\text{In}_{0.95}\text{Sb}_{0.05}\text{O}_3$  показывают, что интенсивность полос возбуждения и фотолюминесценции образцов, содержащих ионы сурьмы  $\text{Sb}^{3+}$  (кривые 2, 3), значительно выше интенсивности полос твердого раствора  $\text{La}_{0.90}\text{Dy}_{0.05}\text{Ho}_{0.05}\text{InO}_3$ , в котором ионы  $\text{Sb}^{3+}$  отсутствуют (кривые 1).

## ЛИТЕРАТУРА

1. Liu, X. Synthesis and luminescent properties of  $\text{LaInO}_3$ :  $\text{RE}^{3+}$  ( $\text{RE} = \text{Sm, Pr and Tb}$ ) nanocrystalline phosphors for field emission displays / X. Liu., J. Lin // Solid State Sci. – 2009. – Vol. 11. – P. 2030–2036.
2. Luminescent properties of a new red-emitting phosphor based on  $\text{LaInO}_3$  for LED / A. Tang [et al.] // Optoelec. Adv. Mater. – 2011. – Vol. 5, No. 10. – P. 1031–1034.
3. Unraveling the energy transfer mechanism in bismuth co-activation of  $\text{LaInO}_3 : \text{Sm}^{3+}/\text{Ho}^{3+}$  nanophosphor for color-tunable luminescence / C. S. Kamal [et al.] // RSC Adv. – 2017. – Vol. 7, № 16. – P. 9724–9731.